

# 韓電 765kV 系統의 開閉 過電壓에 對하여

김정부\* · 이동일\*\*

(\*한전 기술연구원 책임연구원, \*\*선임연구원)

抄錄：開閉 過電壓에 對한 機器 絶緣強度는 飽和特性이 있어서 500kV 系統 以上에서는 일반적으로 雷過電壓에 對한 所要 絶緣強度보다 더 높은 強度를 要求하고 있다.

本稿는 우리나라 765kV 送電線路 Model을 假定한 후 過渡電壓分析器(TNA)를 利用하여, 開閉 過電壓의 크기와 그 分布를 確率 統計學的으로 研究한 結果와 이의 絶緣設計時 經濟的인 方法을 紹介한 것이다.

## 1. 緒論

韓電은 1976年 麗水一大田間 送電線路를 345kV로 運轉한 以來 繼續 系統이 擴張되어 1991年末 現在 345kV 送電線路 回線 直長 5,000 C—Km, 345kV 變壓器容量이 約25,000 MVA가 되었다.

韓電에서는 앞으로 우리나라의 長期 電力需要豫測, 電源 開發계획, 機器 國產化 開發 및 系統의 信賴度等을 考慮하여 次期 系統昇壓 電壓을 1991年에 765kV로 定하였다.

한편 韓電에서는 1979年~1980年에 걸쳐서 765kV 送電의 全般的인 技術에 대한 海外研修를 美國 Westinghouse에서 實施하였고 1980年代 初부터 우리나라 與件에 맞는 765kV 送電線路의 實證研究를始作하였다.

제1段階 研究로 電氣研究所 구내에 單相模擬試驗設備인 Corona Cage[6m×6m×20m]를 建設하고 試

驗 變壓器로 電壓을 印加하며 注水時 實線路와 같이 電線表面 電界를 模擬, 試驗하여 最適候補 導體로 483mm<sup>2</sup> 6導體를 擇하였으며, 現在는 제2段階로 765 kV 2回線 實規模試驗線路를 全北 高敞에 建設中에 있다.

1993年부터 765kV 電壓을 印加, 各種 環境 影響에 對한 研究를 遂行하여 이 導體에 對한 評價를 할 計劃이다. 이와 併行하여 系統 絶緣設計에 대한 研究를 進行하고 있으며, 이 중 重要한 事項中의 하나가 開閉 過電壓의 크기에 對한 研究이다.

開閉 過電壓의 倍數에 對한 研究는 Analog形의 過渡電壓分析器(TNA)를 利用하거나 Digital形의 電磁氣 過渡現象 프로그램(EMTP)를 利用하는데, 前者가 一般的으로 多이 쓰이며 後者는 補助的으로 利用되고 있다.

## 2. 開閉 過電壓과 系統 絶緣設計

1960年代 初 美國에서 550kV 送電線의 出現 以前에는 系統에서 發生하는 開閉 Surge에 대하여는 別로 知識이 없어서 設計絶緣強度는 雷衝擊電壓과 商用 周波電壓 強度에 依하여서만 正義되었다.

開閉 衝擊電壓(Switching Impulse)에 對한 絶緣強度의 基本的인 研究는 USSR의 Stakolinikov와 Alexandrov 研究家들에 依하여 이루어졌다. 이들은 空氣絕緣의 開閉過電壓 Impulse에 對한 強度는 雷 Impulse에 對한 強度보다 弱하다는 論文을 發表함으

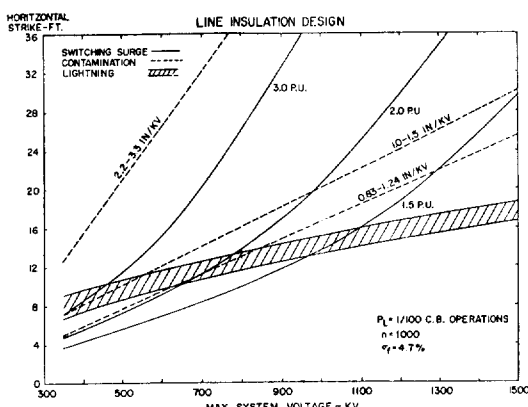


그림 1. 系統 電壓에 따라 概略的인 支持物의 絶緣距離

로서 그當時 이分野技術者들을 놀라게 하였다. 이러한發見이 있은後, 550kV支持物과變電所에對한設計資料를 얻기爲하며美國에서開閉Impulse에對한試驗과研究가 이루어졌다.

그後 1960年代에 765kV送電線이蘇聯, 카나다,美國에서運轉되기始作되었고 1986年에는蘇聯에서 1,150kV送電線이運轉되었으며日本에서는 1988年부터 1,000kV送電線路를建設하기始作하였다.

그림1은系統電壓에 따라所要(空氣)絕緣距離를 나타내는 것이다. 여기에서 보면 765kV系統에서開閉Impulse를 2.0 P.U.以下로抑制하더라도雷Impulse보다도 더큰絕緣distance를要求하고 있다.

756kV系統에對한耐雷設計는架空地線의位置를完全遮蔽로設計하고接地抵抗을大幅 줄일 수 있으므로雷事故率을設計基準置以下로 줄일 수 있으나, 2回線同時事故에對한雷波形分析等設計對策이必要하다.

### 3. 開閉 Impulse와 絶緣强度의 確率 統計的分布

開閉Impulse에對한絕緣design를 하기爲하는 우선system에서發生하는開閉過電壓의크기, 碍子連과空氣絕緣强度를 알아야 한다.

#### 3.1 開閉過電壓의 確率分布

開閉過電壓의크기는 system에서 차단기를高速으로

再投入時 높은倍數의크기로 나타나고任意의크기로發生한다. 보통 Analog Simulator를利用하여調查하고 이를確率統計의in數式을利用近似化시켜보면 그림2와같이 보통正規分布로近似化시킬수있다.

여기에서  $\mu_0$ 는過電壓의平均值,  $\sigma$ 는標準偏差, S는過電壓의크기,  $f(s)$ 는過電壓의分布函數密度,  $F(s)$ 는過電壓의累計分布函數,  $E_2$ 는統計의in開閉過電壓(Statistical Switching Over Voltage)이라하며이값을넘는開閉過電壓의分布의累計가2%임을意味하다.

#### NORMAL(GAUSSIAN)

$$f(s) = \frac{1}{\sqrt{2\pi}\sigma} e^{-\frac{1}{2}(\frac{s-\mu_0}{\sigma})^2}$$

$$F(s) = \int_{-\infty}^s \frac{1}{\sqrt{2\pi}\sigma} e^{-\frac{1}{2}(\frac{s-\mu_0}{\sigma})^2} ds$$

그림3은碍子連 또는空氣의絕緣强度를開閉過電壓의크기에따라閃絡이일어나는確率를나타내는曲線이다. 이曲線은765kV級에서는屋外衝擊電壓發生裝置를利用, 被試體에Impulse를印加하여얻어진다.

그림3을자세히보면S자를아래위에서잡아당긴모양으로되어있어서S形이라고부르며, 正規累計

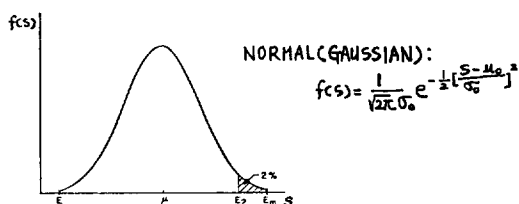


그림 2. 開閉過電壓發生確率分布曲線

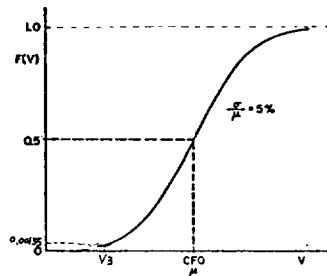


그림 3. 絶緣强度曲線

分布函數로 나타낼 수 있다.  $\mu$ 는 臨界閃絡 電壓 (CFO)이 되며,  $V_3$ 는 開閉 Impulse에 對한 線路의 統計的 絶緣強度(Statistical Switching Impulse Strength for line Insulation)라 하며 閃絡이 일어나는 確率은 (CFO— $3\sigma$ )에 해당되며 0.135%이다. 여기서  $\sigma$ 는 正規分布에서 標準偏差이며  $\sigma/\text{CFO}$ 는 보통 5%로 본다.

아직까지 우리나라에서는 765kV에 對한 碍子連과 空氣絕緣 強度에 對한 試驗 Data는 없으므로 屋外 衝擊電壓 發生裝置를 導入하여, 여기에 對한 試驗이 요청되고 있다. 각나라에서 試驗한 Data는 氣候, 地理的 與件이 다르므로 조금씩 차이가 있다.

#### 4. 765kV 系統의 開閉過電壓 分析

앞으로 우리나라 765kV 系統 Model을 假定 1980 年 및 1988년에 美國 Westighouse의 過渡電壓分析器(TNA)를 利用 여러경우 系統 條件을 考慮 開閉過電壓의 크기를 調查하고 이를 確率 統計的으로 分析하였다.

##### 4.1 系統 Model

그림 4와 같이 765kV Model를 假定하였으며, 이 中에서 가장 긴 線路는  $\alpha-\beta$  變電所間이며 그 旦長은 310km로 定하였다. 우리나라에서 가장 긴 線路로 볼 수 있다.

그림 5는  $\alpha-\beta$  變電所間을 TNA로 Model하기 위하여 차단기, 变압器, 리액터와 전원배치를 က략적으로 나타낸 것이다.

A, B 電源에서 각각 345kV 2回線 線路로  $\alpha$  變電所까지 送電하고 이를 다시 765kV로 升壓  $\beta$  變電所로 送電하는 것이다.

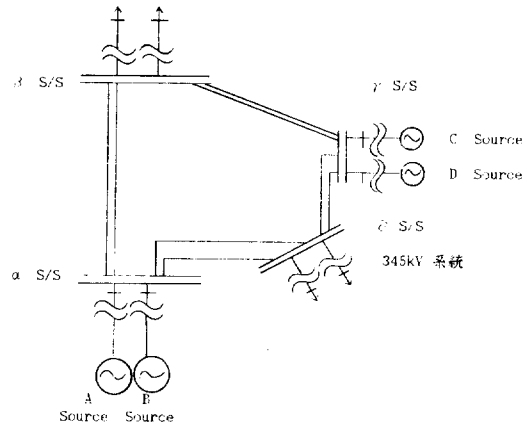


그림 4. 765kV 系統 Model

#### 4.2 過渡 電壓 分析器(Transient Network Analyzer)

過渡電壓分析器는 3相 100V 電源을 사용하였으며 이의 素子는 電源, 變壓器, 分路리액터, 線路, 避雷器, 遮斷器 등이며 重要 素子인 線路, 遮斷器의 素子는 다음과 같다.

##### 4.2.1 線路表記[5]

線路表記는 非燃架로 假定하여 自己임피던스 및 相互임피던스, 導體相互間의 캐패시턴스 및 導體와 大地間 캐패시턴스를 계산하였으며 그림은 1個의  $\pi$  구간을 表現한 것이다.

##### 4.2.2 遮斷器 表記

遮斷器 表記는 그림7, 8과 같으며 TNA에서 심장부라 할 수 있다. 이 素子는 開閉싸지를 일으킬 때 실제 遮斷器 特性을 正確히 模擬하여야 되기 때문이

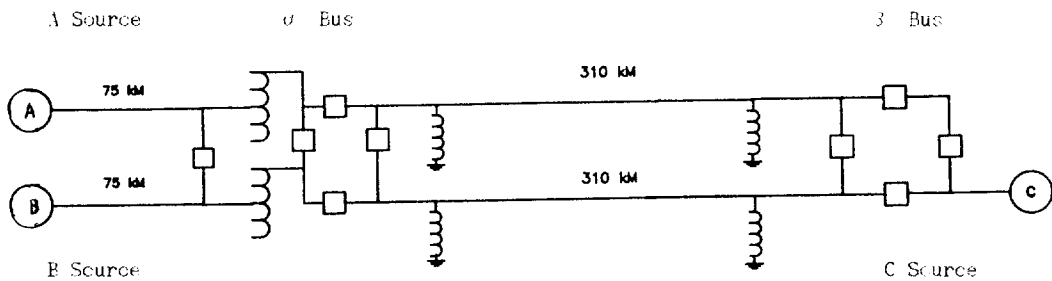


그림 5.  $\alpha-\beta$  變電所間 線路 Model

## 한전 765KV 계통의 개폐과 전압에 대하여

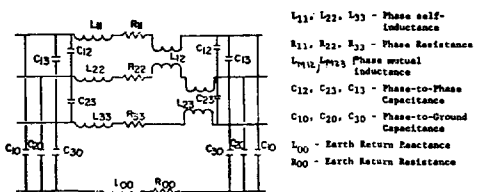


그림 6. 非燃架  $\pi$ 區間 모델

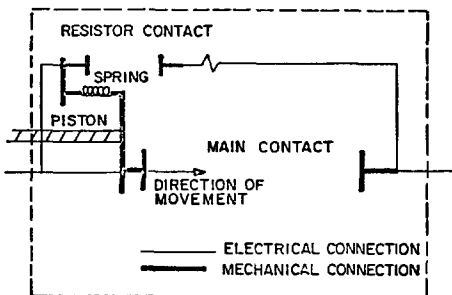


그림 7. 投入抵抗을 가진 遮断器 모델

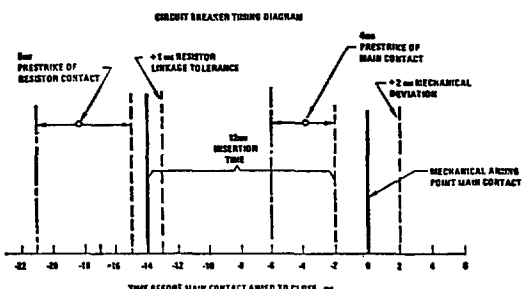


그림 8. 遮断器 动作時間 Diagram

다. 이 遮断器는 TNA 供給電壓과 同期해서 스위치를 電子的으로 制御하도록 되어 있으며, 또한 각 相의 개방 및 폐로시간을 조절할 수 있도록 相別로 調整이 可能도록 되어있다.

抵抗接點은 그림 8과 같이 主接點이 機械的으로閉路되기前에 閉路되어 機械的結合이 되도록 되어 있다. 이 結合은  $\pm 1\text{ms}$  誤差를 가진다. 投入抵抗은 調整이 가능하도록 되어 있다.

### 4.3 分析結果

그림 5와 같이  $\alpha$  變電所에서 차단기를 開閉하고,  $\beta$  變電所에서 開閉 過電壓을 測定하였다. 19경우 系

統條件을 模擬하였으며 보통의 경우는 차단기를 100回動作시키고 重要한 경우는 200回의動作을 하도록 하였으며, 이를 統計的으로 그려보면 거의 正規分布로 近似化할 수 있다. 그중 重要한 사항을 要約하면 다음과 같다.

#### (1) 차단기 투입(Energization)과 재투입(Reenergization, Reclosing)

차단기 高速再閉路時는 線路에 充電된 電荷가 放電될 時間의 餘裕가 없고 線路에 갇혀지므로 이때 開閉過電壓이 投入時보다 높게 나타난다.

#### (2) 分路리액터의 線路 補償에 依한 過電壓

線路의 充電容量을 全然 補償하지 않을 때는 最大過電壓이 2.6 P.U까지 나타나나, 70% 補償時는 1.7 P.U까지 抑制할 수 있다.

#### (3) 2回線과 1回線 運轉時

1回線으로 運轉時 開閉過電壓이 더 크게 나타난다.

#### (4) 電源에 依한 影響

$\alpha$  變電所에서 兩電源이 運轉될 때보다 1個 電源만 運轉될 때가 開閉過電壓이 더 크게 나타난다. 이는 系統이 擴張되면 過電壓이 적어짐을 意味한다.

#### (5) 차단기 投入抵抗의 크기에 依한 影響

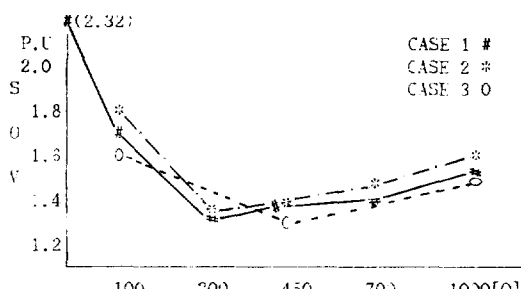


그림 9. 遮断器 投入抵抗 크기에 依한 過電壓 分布

- Case 1 : Energizing, C—B Resistor preinsertion time 12ms (A Type Tower)
- Case 2 : Reclosig, C—B Res. Pes. Pre. In. time 12ms Reclosing time 40Cycle (A Type Tower)
- Case 3 : Energizing, C—B Resistor preinsertion time 12ms (B Type Tower)

\* A Type Tower : 垂直配列 2回線 支持物

\* B Type Tower : 水平配列 1回線 支持物

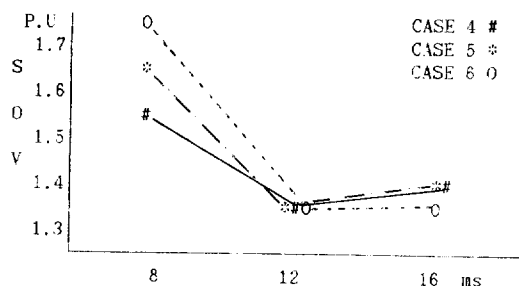


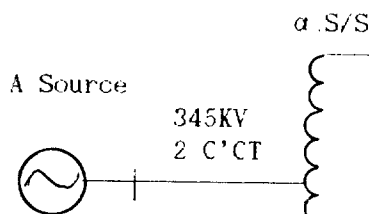
그림 10. 遮斷器 投入抵抗의 投入時間에 依한 過電壓 分布

- Case 4 : Energizing, S.R 340MVAx2 (A Type Tower)
- Case 5 : Reclosing, S.R 340MVAx2 (A Type Tower)
- Case 6 : Reclosing, S.R 340MVAx2 (B Type Tower)

차단기 투입저항의 크기에 따라 開閉過電壓의 크기가 다르게 된다. 따라서 投入抵抗을 변화시켜 過電壓를 分析해 본 결과 그림 9와 같이 차단기 投入抵抗이  $300\Omega \sim 450\Omega$ 일 때 過電壓 크기가 가장 적게 나타났다.

#### (6) 차단기 投入抵抗의 投入時間에 依한 影響

차단기 投入抵抗의 投入時間은 變化시켜 過電壓分布를 分析해본 결과 그림 10과 같이 차단기 投入時間이 12ms경우가 過電壓이 가장 적게 나타났다.



: 操作 遮斷器  
 : 開放 遮斷器

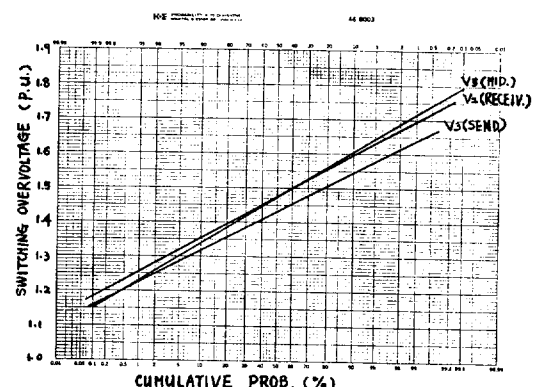
그림 11. 765kV 系統 開閉過電壓 解析 系統條件

(7) 위의 (1)~(6)의 事項을 考慮, 系統 設計에 利用될 수 있는 開閉過電壓을 求하기 為하여 다음과 같이 系統條件를 假定하였다.

單獨電源, 765kV 1回線 運轉(線路길이 310km), 70% 补償 分路리액터 設置, 차단기 投入抵抗  $450\Omega$ , 遞延期 投入時間 12ms로 假定하였으며, 이 때 系統單線圖는 그림 11과 같다.

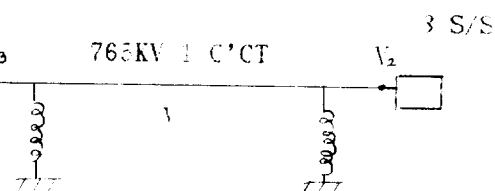
이 때 送電端의 開閉過電壓의 크기( $V_3$ )는 平均值가 1.44 P.U, 標準偏差가 0.085이며 최대과전압의 크기는 1.63 P.U이다.

線路中間에서 開閉過電壓의 크기( $V_5$ )는 平均值가 1.46 P.U 표준편차가 0.1, 최대치가 1.70 P.U로 나타났다. 受電端 開閉過電壓의 크기( $V_2$ )는 平均值가



(RECLOSE 30ms, 310 Km LINE, PARALLEL OUT,  
70 % COMPENSATION)

그림 12. 開閉 系統過電壓 累計分布



1.46 P.U 표준편차가 0.096, 최대치가 1.69 P.U로 나타났다. 이 때 過電壓遮斷器의 앵글을 조정하여 最大過電壓를 調査하여 본 결과 그림 13과 같이 最大置가 1.90 P.U까지 나타났다.  $V_3$ ,  $V_5$ ,  $V_2$ 의 累計分布를 그려보면 그림 12와 같이 正規分布로 나타난다.

送電端의 過電壓이 受電端과 같이 거의 같은 것은 劵磁變壓器의 突入電流가 主原因이 되는 것이다. 變壓器의 劓磁飽和特性을 考慮하여 模擬하면 過電壓의 크기가 더 크게 된다[2]. 相間開閉 過電壓의 크기는 平均值가 2.60 P.U 標準偏差 0.148, 最大值가 2.90 P.U로 나타났다.

## 5. 開閉 過電壓에 對한 絶緣設計

開閉過電壓에 대한絕緣設計는 在來式인 決定論的方法(Deterministic Method)과 좀더 經濟的인 設計를 하는 確率論的方法(Probabilistic Method)이 있다.

## 5.1 決定論的 方法

系統에 나타나는 最大 開閉過電壓(그림 2에서

Em)의 크기와 그림 3의 絶緣强度에서  $V_3$ 를 같도록  
絶緣强度를 정하는 方法을 決定論的 方法이라 한다.  
이를 數式으로 타나내면 다음과 같다.

$$\text{CFO} - 3\sigma = \text{Em}$$

$$\text{CFO} = \frac{\text{Em}}{1 - \sigma/\text{CFO}} \doteq 0.85\text{Em} \quad \dots\dots\dots(2)$$

여기에서 閃絡電壓值는 開閉過電壓 크기를 알면  
設計할 수 있다. 이 方法으로 設計하면 過大하게 設  
計될 우려가 있다. 765kV 試驗線路의 空氣 絶緣距  
離와 碍子個數는 이 方法에 의하여 設計하여 본 結  
果에 의하면 空氣絕緣距離는 5250mm, 縱垂 碍子連  
個垂는 300KN 碍子(320mm×195mm) 33個로 設計  
되었다.

绝缘强度曲線은 日本中央電力研究所의 試驗 Data 를 利用하였으며, 이 資料는 1,000kV 送電線을 基準으로 試驗한 資料[4]이기 때문에 우리나라에서는 추후 별도의 試驗 Data가 있어야 되리라고 본다.

## 5.2 確率論的方法 [3]

系統에서 開閉過電壓의 曲線과 試驗에서 絶緣強度

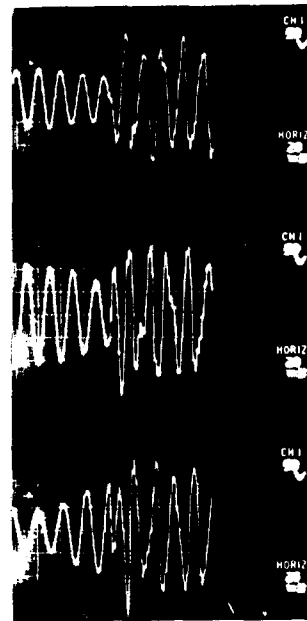
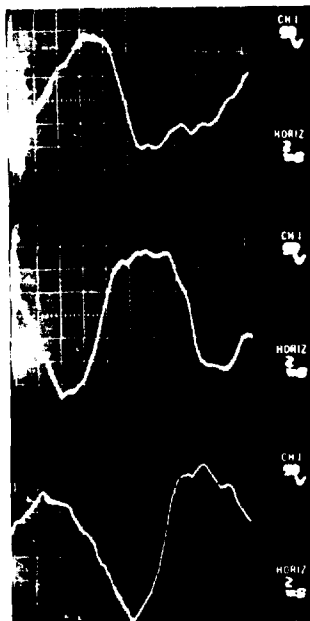


그림 13. TNA Oscillogram

曲線이 구해지면 그림 14와 같이 Stress-Strength Analysis에 의해서 故障確率(보통 차단기 100回當 1회 또는 1000회當 1회)에 의하여 絶緣強度를 定하는 方法이다. 그림 14와 같이 Strength가 Stress보다 적을때 故障이 일어나며 그 確率은 (3)식과 같다.

$$P(S < S_1) = \int_{-\infty}^{s_1} f(s) ds \quad \dots \dots \dots (3)$$

Stress가 어느 특정한 값  $S_1$ 에서 故障確率은 다음과 같다.

$$dp = [f(s_1) ds] \times \int_{-\infty}^{s_1} f(s) ds \quad \dots \dots \dots (4)$$

그림 14에서 두 曲線이 만나는 부분을 확대하면 그림 15와 같이된다.

어느 系統에서 총 事故發生 確率은 다음과 같다.

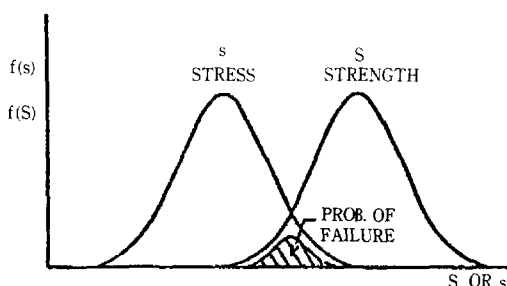


그림 14. Stress - Strength Curve

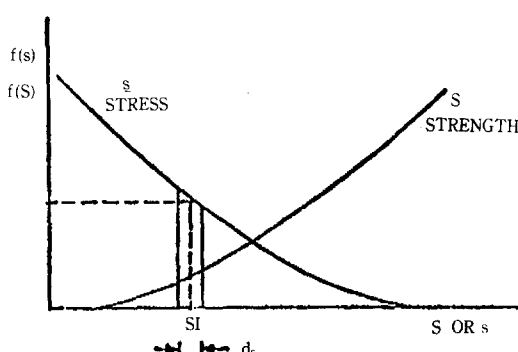


그림 15. 그림 14의 Stress - Strength Curve의 交叉部分

$$P_F = \int_{-\infty}^{\infty} f(s) \left[ \int_{-\infty}^s f(s) ds \right] ds \quad \dots \dots \dots (5)$$

4.3에서 求한 過電壓分布와 차단 100回當 1회의 事故率을 算定, 確率論的 方法으로 支持物의 空氣 絶緣距離를 求하여 보면 海拔 1km 以下에서 4.3m 가 되므로 決定論的 方法으로 求한 것 보다 約 1m 가 적게 된다. 空氣 絶緣距離를 1m로 줄일 수 있을 경우 支持物의 크기는 大幅줄일 수 있다. 앞으로 이 부분은 더 研究하면 經濟的인 設計를 할 수 있다.

## 6. 結 論

本研究는 韓電 765kV 系統의 開閉過電壓에 對한豫備研究와 이의 設計方法과 그 例에 對하여 記述하였다. 765kV 系統에서는 線路充電容量을 補償하고 (70% 程度), 차단기에 投入抵抗을 삽입하면 開閉過電壓를 1.7 P.U~1.9 P.U 程度로 抑制할 수 있음을 알 수 있다.

앞으로 系統計劃이 確定되어 實線路建設에 앞서 더 研究되어야 할 事項은 다음과 같다.

- (1) 正確한 系統을 TNA 또는 EMTP로 模擬하여 開閉過電壓分析研究
- (2) 汚損設計의 資料를 얻기 為하여 一線地絡時健全相 過電壓 分析[1]
- (3) 屋外 衝擊電壓 發生 裝置를 利用 支持物의 空氣 絶緣強度에 대한 試驗
- (4) 系統에 最適인 차단기 投入抵抗 크기 決定等이다.

## 참 고 문 헌

- [1] UHV 送電特別委員會中間報告書 PP 86~95, 日本電力中央研究所 UHV 送電特別委員會 1982年 5月
- [2] Arthur Hauspurg, Gregory S Vassell, "Overvoltages on the AEP 765kV system" IEEE Winter power meeting paper, pp 1329~1324, January 1969,
- [3] A · R · Hileman "Insulation coordination, Switching Surge Flashover Rate" pp. 2~7, September 1979.
- [4] UHV 交流送電 實證試驗委員會 報告書, 日本電力中央研究所 1985年 3月
- [5] Swithching Surge Studies using the ANACOM, M.D Perkins, W.H.



김정부(金正夫)

1943년 11월 14일 생  
1971년 서울대 공대 전기공학과 졸업  
1990년 동 대학원 졸업(공박)  
1971년 한국전력 입사  
1980년 미국 Westinghouse사에서 800kV 送電技術研修.  
1992년 현재 한국전력공사 기술연구원 개통연구  
실 責任연구원



이동일(李東一)

1958년 3월 15일 생  
1983년 인하대학원 전기공학과 졸업  
1988년 미국 Westinghouse사에서  
800kV 送變電絕緣設計 研修  
1992년 현재 한국전력공사 기술연구원 계통연구실  
선임연구원